

178

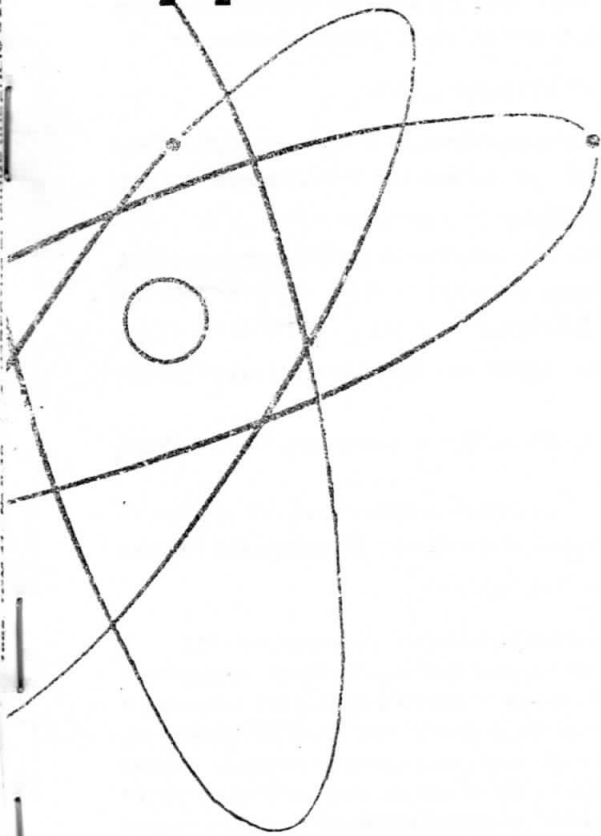
p-6264/41/9-10
528
62

ISSN 0021-3470



ИЗВЕСТИЯ
ВЫСШИХ УЧЕБНЫХ
ЗАВЕДЕНИЙ

РАДИОЭЛЕКТРОНИКА



ТОМ 41

9-10

ИЗДАНИЕ
НАЦИОНАЛЬНОГО
ТЕХНИЧЕСКОГО
УНИВЕРСИТЕТА
УКРАИНЫ
«КИЕВСКИЙ
ПОЛИТЕХНИЧЕСКИЙ
ИНСТИТУТ»

1998

ПОРОГОВЫЕ ХАРАКТЕРИСТИКИ КВАЗИПРАВДОПОДОБНОЙ ОЦЕНКИ ВРЕМЕНИ ПРИХОДА СЛУЧАЙНОГО РАДИОИМПУЛЬСА

Найдены характеристики оценки времени прихода радиопульса с неточно известной длительностью при наличии аномальных ошибок. Приведены результаты статистического моделирования алгоритма оценки.

Задача оценки времени прихода импульсных сигналов имеет широкие приложения в связи, радио- и гидролокации, системах синхронизации и т. п. Такие сигналы не только наблюдаются на фоне случайных помех, но и сами часто являются случайными. Примерами случайного радиоимпульса могут служить отраженный локационный сигнал, радиосигнал, искаженный модулирующей помехой, сигналы в радио- и оптической астрономии [1—3] и др.

Рассмотрим оценку времени прихода λ_0 случайного радиоимпульса

$$s(t, \lambda_0, \tau_0) = I[(t - \lambda_0) / \tau_0] \xi(t), \quad (1)$$

наблюдаемого на фоне аддитивного гауссовского белого шума $n(t)$ с односторонней спектральной плотностью N_0 . Здесь $I(x) = 1$ при $|x| \leq 1/2$, $I(x) = 0$ при $|x| > 1/2$, τ_0 — длительность импульса, $a\xi(t)$ — узкополосный центрированный стационарный гауссовский случайный процесс. Спектральную плотность процесса $\xi(t)$ представим в виде $G(\omega) = (\gamma/2) \{ g[(\nu - \omega)/\Omega] + g[(\nu + \omega)/\Omega] \}$, где γ — величина, Ω — ширина полосы частот, ν — центральная частота спектральной плотности, а функция $g(x)$ описывает форму

спектральной плотности и нормирована так, что $\max_{-\infty}^{\infty} g(x) = 1$, $\int_{-\infty}^{\infty} g^2(x) dx = 1$.

Полагаем, что длительность импульса (1) значительно больше времени корреляции узкополосного случайного процесса $\xi(t)$, т. е.

$$\mu = \tau_0 \Omega / 2\pi \gg 1, \quad \Omega \ll \nu. \quad (2)$$

В [4] исследована оценка максимального правдоподобия (ОМП) времени прихода импульса (1) с учетом аномальных ошибок при условии, что остальные параметры импульса априори известны. Однако в ряде практических задач длительность импульса известна не точно. Ниже найдены характеристики оценки времени прихода импульса (1) с неточно известной длительностью, а также приведены результаты теоретического и экспериментального (методом статистического моделирования на ЭВМ) исследования пороговых эффектов.

При выполнении (2) логарифм функционала отношения правдоподобия (ФОР) $L(\lambda, \tau)$ для наблюдаемой реализации $x(t) = s(t, \lambda_0, \tau_0) + n(t)$ как функция неизвестных времени прихода и длительности радиопульса (1) имеет вид [4]:

$$L(\lambda, \tau) = M(\lambda, \tau) / N_0 - (\tau \Omega / 2\pi) \int_{-\infty}^{\infty} \ln [1 + qg(x)] dx, \quad (3)$$

$$M(\lambda, \tau) = \int_{\lambda - \tau/2}^{\lambda + \tau/2} y^2(t) dt, \quad (4)$$

где $q = \gamma / N_0$, а $y(t) = \int_{-\infty}^{\infty} f x(t') h(t - t') dt'$ — отклик фильтра с импульсной

переходной функцией $h(t)$ на реализацию наблюдаемых данных $x(t)$, причем передаточная функция $H(\omega)$ этого фильтра удовлетворяет условию: $|H(\omega)|^2 = f[(v - \omega) / \Omega] + f[(v + \omega) / \Omega]$, $f(x) = qg(x) / [1 + qg(x)]$. Обозначим $[\Lambda_1, \Lambda_2]$ — априорный интервал возможных значений неизвестного времени прихода λ_0 . Тогда ОМП λ_m времени прихода импульса (1) с априори известной длительностью определяется как положение глобального максимума функционала $M(\lambda, \tau_0)$ (4) при $\lambda \in [\Lambda_1, \Lambda_2]$, т. е. $\lambda_m = \arg \sup_{\lambda} M(\lambda, \tau_0)$ [4].

При неточно известной длительности импульса τ_0 вместо ОМП λ_m можно использовать квазиправдоподобную оценку (КПО)

$$\lambda_q = \arg \sup_{\lambda \in [\Lambda_1, \Lambda_2]} M^*(\lambda), \quad M^*(\lambda) = M(\lambda, \tau^*) = \int_{\lambda - \tau^*/2}^{\lambda + \tau^*/2} y^2(t) dt, \quad (5)$$

где τ^* — фиксированное ожидаемое (прогнозируемое) значение длительности τ_0 , причем в общем случае $\tau^* \neq \tau_0$. При $\tau^* = \tau_0$ КПО λ_q (5) переходит в ОМП λ_m .

Введем в рассмотрение безразмерный параметр $l = \lambda / \tau_0$, обозначим $l_0 = \lambda_0 / \tau_0$ и представим функционал $M^*(\lambda)$ (5) в виде суммы $M^*(\lambda) = S(l) + N(l)$. Здесь $S(l) = \langle M^*(l \tau_0) \rangle$ — сигнальная,

$N(l) = M^*(l \tau_0) - \langle M^*(l \tau_0) \rangle$ — шумовая функции, а усреднение выполняется по реализациям $x(t)$ при фиксированном λ_0 [5]. Если выполняется (2), то

$$S(l) = AC(l, l_0) + S_0, \quad (6)$$

$$A = \mu q^2 N_0 \int_{-\infty}^{\infty} \left\{ \frac{g^2(x)}{[1 + qg(x)]} \right\} dx,$$

$$S_0 = \mu q N_0 (1 + \delta) \int_{-\infty}^{\infty} \left\{ \frac{g(x)}{[1 + qg(x)]} \right\} dx,$$

$$C(l, l_0) = \begin{cases} 1 + \min(0; \delta), & |l - l_0| \leq |\delta|/2; \\ 1 + \delta/2 - |l - l_0|, & |l - l_0| \in (|\delta|/2; 1 + \delta/2]; \\ 0, & |l - l_0| > 1 + \delta/2, \end{cases}$$

где $\delta = (\tau^* - \tau_0) / \tau_0$ — относительное отклонение ожидаемого значения длительности импульса (1) от ее истинного значения. Шумовая функция $N(l)$ является реализацией асимптотически (при $\mu \rightarrow \infty$) гауссовского центрированного случайного процесса с корреляционной функцией

$$\langle N(l_1) N(l_2) \rangle = B_1 R_1(l_1, l_2) + B_2 R_2(l_0, l_1, l_2), \quad (7)$$

$$B_1 = \mu q^2 N_0^2 \int_{-\infty}^{\infty} \frac{g^2(x) dx}{[1 + qg(x)]^2}, \quad B_2 = \mu q^3 N_0^2 \int_{-\infty}^{\infty} \frac{g^3(x) [2 + qg(x)] dx}{[1 + qg(x)]^2},$$

$$R_1(l_1, l_2) = \begin{cases} 1 + \delta - |l_1 - l_2|, & |l_1 - l_2| \leq 1 + \delta; \\ 0, & |l_1 - l_2| > 1 + \delta; \end{cases}$$

$$R_2(l_0, l_1, l_2) = \max \left\{ 0; \min [l_0 + 1/2; l_1 + (1 + \delta)/2; l_2 + (1 + \delta)/2] - \right. \\ \left. - \max [l_0 - 1/2; l_1 - (1 + \delta)/2; l_2 - (1 + \delta)/2] \right\}.$$

Из (6) следует, что сигнальная функция $S(l)$ имеет плоскую вершину протяженностью $|\delta|$, расположенную на интервале $\Gamma_0 \equiv [l_0 - |\delta|/2; l_0 + |\delta|/2]$. В частности, сигнальная функция максимальна при $l = l_0$, следовательно выходное отношение сигнал/шум (ОСШ) [5] для квазиравдоподобного алгоритма (5) запишется в виде:

$$z_q^2(\delta) = \frac{[S(l_0) - S_0]^2}{\langle N^2(l_0) \rangle} = \frac{A^2 [1 + \min(0; \delta)]^2}{B_1(1 + \delta) + B_2[1 + \min(0; \delta)]},$$

причем, $z_q^2(\delta) \gg 1$ при выполнении (2), $q > 0$ и $\delta > -1$.

Найдем характеристики нормированной КПО $l_q = \lambda_q / \tau_0$ временного положения импульса (1). В процессе анализа все оценки целесообразно разбить на два класса: надежные и аномальные [5]. Оценка l_q является надежной, если она находится в пределах интервала $\Gamma_S \equiv [l_0 - 1 - \delta/2; l_0 + 1 + \delta/2]$, где сигнальная функция (6) отлична от S_0 . Если же КПО l_q находится вне интервала Γ_S , т. е. $l_q \in \Gamma_N = \Gamma \setminus \Gamma_S$, $\Gamma \equiv [\Lambda_1 / \tau_0; \Lambda_2 / \tau_0]$, то оценка и соответствующая ошибка оценивания называются аномальными [5].

Установленные свойства функционала $M^*(\lambda)$ (5) позволяют на основе метода локально-марковской аппроксимации, аналогично [6, 7], найти асимптотически точное (при $z_q^2(\delta) \rightarrow \infty$, $\mu \rightarrow \infty$) выражение для функции распределения $F_0(l) = P(l_q < l)$ надежной оценки l_q :

$$F_0(l) = \begin{cases} \varphi(l_0 - l - |\delta|/2), & l < l_0 - |\delta|/2; \\ \arccos [2(l_0 - l) / |\delta|] / \pi, & |l - l_0| \leq |\delta|/2; \\ 1 - \varphi(l - l_0 - |\delta|/2), & l > l_0 + |\delta|/2; \end{cases} \quad (8)$$

$$\begin{aligned} \varphi(l) = & \frac{2z}{\kappa_2} \int_0^\infty \left\{ \exp\left(-\frac{2zx}{\kappa_2}\right) \Phi\left(\frac{x-zl}{\sqrt{\kappa_2}l}\right) + \Phi\left(\frac{x+zl}{\sqrt{\kappa_2}l}\right) - 1 \right\} \times \\ & \times \left\{ 2\Phi\left(\frac{x}{\sqrt{\kappa_1}|\delta|}\right) - 1 - \exp\left(\frac{2z^2\kappa_1}{\kappa_2}|\delta|\right) \left[\exp\left(-\frac{2zx}{\kappa_2}\right) \times \right. \right. \\ & \left. \left. \times \Phi\left(\frac{x-2z\kappa_1|\delta|/\kappa_2}{\sqrt{\kappa_1}|\delta|}\right) - \exp\left(\frac{2zx}{\kappa_2}\right) \left(1 - \Phi\left(\frac{x+2z\kappa_1|\delta|/\kappa_2}{\sqrt{\kappa_1}|\delta|}\right)\right) \right] \right\} dx, \\ & \kappa_1 = \begin{cases} 2, & \delta < 0; \\ 2B_1 / (B_1 + B_2), & \delta > 0; \end{cases} \quad \kappa_2 = \frac{2B_1 + B_2}{B_1 + B_2}, \end{aligned}$$

где

$$z^2 = \max_{\delta} z_q^2(\delta) = z_q^2(0) = \mu q^2 \left\{ \int_{-\infty}^{\infty} \frac{g^2(x) dx}{[1 + qg(x)]} \right\}^2 \quad (9)$$

— ОСШ при априори известной длительности радиоимпульса, а

$\Phi(x) = \int_{-\infty}^x \exp(-t^2/2) dt / \sqrt{2\pi}$ — интеграл вероятности. Выражение (8) полу-

чено, аналогично [6], в предположении, что время корреляции $1 + \delta$ шумовой функции $N(l)$ превосходит ширину $|\delta|$ плоской вершины сигнальной функции $S(l)$ (6), т. е.

$$|\delta| > -1/2. \quad (10)$$

Из (8) следует, что функция распределения надежной КПО времени прихода радиоимпульса (1) имеет существенно негауссовский характер, хотя решающая статистика $M^*(\lambda)$ (5) является асимптотически гауссовской.

Используя (8), находим асимптотические выражения для условных (при фиксированном l_0) смещения $b_0 = \langle l_q - l_0 \rangle$ и рассеяния $V_0 = \langle (l_q - l_0)^2 \rangle$ надежной КПО l_q :

$$\begin{aligned} b_0 = 0, \quad V_0 = & \frac{\delta^2}{8} + \exp\left(\frac{2z^2 \kappa_1 |\delta|}{\kappa_2^2}\right) \left[1 - \Phi\left(\frac{2z}{\kappa_2} \sqrt{\kappa_1 |\delta|}\right) \right] \left[\frac{13\kappa_2^2}{4z^4} + \frac{|\delta|}{z^2} \times \right. \\ & \times \left(\frac{3\kappa_2}{2} - 8\kappa_1 \right) + \frac{4\kappa_1}{\kappa_2^2} \delta^2 (3\kappa_1 - \kappa_2) + \frac{8z^2 \kappa_1^2}{\kappa_2^3} |\delta|^3 \left(1 - \frac{4\kappa_1}{3\kappa_2} \right) \left. + \sqrt{\frac{|\delta| \kappa_1}{2\pi}} \times \right. \\ & \left. \times \left[4z\delta^2 \frac{\kappa_1}{\kappa_2^2} \left(\frac{4\kappa_1}{3\kappa_2} - 1 \right) + \frac{|\delta|}{z} \left(3 - \frac{22\kappa_1}{3\kappa_2} \right) + \frac{13\kappa_2}{2z^3} \right], \quad (11) \end{aligned}$$

точность которых возрастает с увеличением μ (2) и z^2 (9). Полагая в (11) $\delta = 0$, получаем рассеяние $V_{0m} = \langle (l_m - l_0)^2 \rangle = 13\kappa_2^2 / 8z^4$ нормированной надежной ОМП $l_m = \lambda_m / \tau_0$ времени прихода сигнала (1) с априори известной длительностью [4]. Согласно (11) предельное (при $z^2 \rightarrow \infty$) значение рассеяния V_0 надежной оценки l_q равно $\delta^2 / 8$. Следовательно, рассеяние КПО (5) даже при очень малых случайных искажениях импульса (1) ограничено снизу постоянной величиной $(\tau^* - \tau_0)^2 / 8$, и при $\delta = 0$ КПО (5) не является состоятельной.

Рассмотрим теперь пороговые (т. е. с учетом аномальных ошибок) характеристики КПО (5). Аномальные ошибки возможны, если приведенная длина [5, 7] $m = (\Lambda_2 - \Lambda_1) / \tau_0$ априорного интервала Γ возможных значений времени

прихода l_0 значительно больше протяженности интервала Γ_S надежной оценки, т. е.

$$m > 1. \quad (12)$$

Обозначим $P_0 = P[l_q \in \Gamma_S]$ — вероятность надежной оценки, $W_0(l) = dF_0(l) / dl$ и $W_a(l)$ — плотности вероятностей надежной и аномальной КПО l_q соответственно. Так как надежные и аномальные решения об оценке являются несовместимыми событиями, то плотность вероятности КПО l_q с учетом аномальных ошибок можно представить в виде $W(l) = P_0 W_0(l) + (1 - P_0) W_a(l)$. Здесь при выполнении (12) можно использовать аппроксимацию: $W_a(l) = 1/m$ при $l \in \Gamma$ и $W_a(l) = 0$ при $l \notin \Gamma$ [5]. Тогда условные (при фиксированном l_0) смещение и рассеяние оценки l_q с учетом аномальных ошибок запишутся в виде:

$$b = \langle l_q - l_0 \rangle = P_0 b_0 + (1 - P_0) b_a = (1 - P_0) b_a, \quad (13)$$

$$V = \langle (l_q - l_0)^2 \rangle = P_0 V_0 + (1 - P_0) V_a,$$

где b_0 и V_0 — условные смещение и рассеяние надежной оценки, которые определяются из (11), а b_a и V_a — условные смещение и рассеяние аномальной оценки, причем при выполнении (12) $b_a = (\Lambda_2 + \Lambda_1) / 2\tau_0 - l_0$, $V_a = [(\Lambda_2^2 + \Lambda_2 \Lambda_1 + \Lambda_1^2) / 3\tau_0^2 - l_0 (\Lambda_2 + \Lambda_1) / \tau_0 + l_0^2]$ [5].

Вероятность надежной оценки при $\tau^* = \tau_0$ найдена в [4]. Поэтому ограничимся рассмотрением случая $\tau^* \neq \tau_0$ ($\delta \neq 0$). Согласно определению [5] $P_0 = P[H_S > H_N]$, где H_S и H_N — величины глобальных максимумов функционала $M^*(\lambda)$ (5) на интервалах надежной Γ_S и аномальной оценок Γ_N соответственно. При выполнении (12) случайные величины H_S и H_N приближенно статистически независимы, поэтому [5]

$$P_0 \approx \int_{-\infty}^{\infty} F_N(u) dF_S(u), \quad (14)$$

где $F_N(u) = P(H_N < u)$ и $F_S = P(H_S < u)$ — функции распределения случайных величин H_N и H_S соответственно. Будем считать, что ОСШ (9) достаточно велико, поэтому для расчета вероятности (14) достаточно найти аппроксима-

ции подынтегральных функций $F_N(u)$ и $F_S(u)$, асимптотически точные при $u \rightarrow \infty$ [5].

Согласно (6), (7), если $l \in \Gamma_N$, то $S(l) = S_0$, а шумовая функция $N(l)$ является асимптотически (при $\mu \rightarrow \infty$) гауссовским стационарным центрированным случайным процессом с корреляционной функцией $\langle N(l_1)N(l_2) \rangle = B_1 R_1(l_1, l_2)$. Поэтому при выполнении (2)

$$F_N(u) = P \left[\sup_{l \in \Gamma_N} M^*(l, \tau_0) < u \right] = P \left[\sup_{l \in \Gamma_N} N(l) < u - S_0 \right] = \\ = P \left\{ \sup_{l \in \Gamma_N} r[l/(1+\delta)] < \zeta_N(u) \right\},$$

где $\zeta_N(u) = (u - S_0) / \sqrt{B_1(1+\delta)}$, а $r(l)$ — стационарный центрированный гауссовский случайный процесс с корреляционной функцией $K(l) = \max[0; 1 - |l|]$. Когда выполняется (12)

$$F_N(u) \approx P \left\{ \sup_{l \in \Gamma} r[l/(1+\delta)] < \zeta_N(u) \right\}. \quad (15)$$

Воспользовавшись в (15) асимптотической (при $m \rightarrow \infty, u \rightarrow \infty$) аппроксимацией функции распределения $F(u) = P \left[\sup_{l \in \Gamma} r(l) < u \right]$, приведенной в [8],

находим:

$$F_N(u) = \begin{cases} \exp \left\{ -\frac{m \zeta_N(u)}{(1+\delta)\sqrt{2\pi}} \exp \left[-\frac{\zeta_N^2(u)}{2} \right] \right\}, & u \geq S_0 + \sqrt{B_1}(1+\delta); \\ 0, & u < S_0 + \sqrt{B_1}(1+\delta). \end{cases} \quad (16)$$

Точность этого выражения возрастает с увеличением u, m и μ .

Положим теперь $l \in \Gamma_S$. Согласно (8) при $\tau^* \neq \tau_0$ и $z^2 \rightarrow \infty$ надежная КПО принимает значения из интервала $\Gamma_0 \equiv [l_0 - \delta/2; l_0 + \delta/2]$ с вероятностью, стремящейся к 1. На этом интервале: $S(l) = S(l_0) = A[1 + \min(0; \delta)] + S_0$, а шумовая функция $N(l)$ является асимптотически гауссовским стационарным центрированным случайным процессом с корреляционной функцией $\langle N(l_1)N(l_2) \rangle = B_1 R_1(l_1, l_2) + B_2$ при $\delta \geq 0$ и $\langle N(l_1)N(l_2) \rangle = (B_1 + B_2) R_1(l_1, l_2)$ при $\delta < 0$. Поэтому при $z^2 \gg 1$ и выполнении (2):

$$F_S(u) = P \left\{ \sup_{l \in \Gamma_S} M^*(l \tau_0) < u \right\} \approx P \left\{ \sup_{l \in \Gamma_0} M^*(l \tau_0) < u \right\} = \\ = P \left[\sup_{l \in [0; m_S]} r(l) < \zeta_S(u) \right], \quad (17)$$

$$\zeta_S(u) = \{ u - A [1 + \min(0; \delta)] - S_0 \} / \sigma,$$

$$\sigma^2 = \begin{cases} (B_1 + B_2)(1 + \delta), & \delta < 0; \\ B_1(1 + \delta) + B_2, & \delta \geq 0; \end{cases} \quad m_S = \begin{cases} |\delta| / (1 + \delta), & \delta < 0; \\ B_1 |\delta| / [B_1(1 + \delta) + B_2], & \delta \geq 0. \end{cases}$$

Используя [9] можно найти вероятность непревышения порога u реализацией процесса $r(l)$ на интервале длительностью $\rho \leq 1$:

$$P \left[\sup_{l \in [0; \rho]} r(l) < u \right] = \Psi_0(u, \rho) = \int_{-\infty}^u \Phi \left[\frac{u - x(1 - \rho)}{\sqrt{\rho(2 - \rho)}} \right] \exp \left(-\frac{x^2}{2} \right) \frac{dx}{\sqrt{2\pi}} - \frac{\rho u}{\sqrt{2\pi}} \times \\ \times \exp \left(-\frac{u^2}{2} \right) \Phi \left(u \sqrt{\frac{\rho}{2 - \rho}} \right) - \frac{\sqrt{\rho(2 - \rho)}}{2\pi} \exp \left(-\frac{u^2}{2 - \rho} \right). \quad (18)$$

При выполнении (10) в (17) величина $m_S < 1$. Воспользовавшись (18), находим асимптотическую аппроксимацию функции (17)

$$F_S(u) \approx \Psi_0[\zeta_S(u), m_S], \quad (19)$$

точность которой возрастает с увеличением μ и z . Подставляя (16), (19) в (14), при $\delta \neq 0$ окончательно получаем

$$P_0 = \frac{1}{\sqrt{2\pi}} \int_1^{\infty} \exp \left[-\frac{m x}{(1 + \delta) \sqrt{2\pi}} \exp \left(-\frac{x^2}{2} \right) \right] \left\{ [2 + m_S \zeta^2(x) - m_S] \times \right. \\ \times \exp \left(-\frac{\zeta^2(x)}{2} \right) \Phi \left[\zeta(x) \sqrt{\frac{m_S}{2 - m_S}} \right] + \sqrt{\frac{m_S(2 - m_S)}{2\pi}} \zeta(x) \times \\ \left. \times \exp \left[-\frac{\zeta_2(x)}{2 - m_S} \right] \right\} dx, \quad (20)$$

$$\zeta(x) = \begin{cases} [x - A \sqrt{(1 + \delta) / B_1}] / \sqrt{1 + B_2 / B_1}, & \delta < 0; \\ [x - A / \sqrt{B_1(1 + \delta)}] / \sqrt{1 + B_2 / B_1(1 + \delta)}, & \delta \geq 0, \end{cases}$$

где m_S определяется из (17), а коэффициенты A, B_1, B_2 — из (6), (7). Точность приближенного выражения (20) возрастает с увеличением m, μ (2) и z (9).

На рис. 1, 2 сплошными линиями нанесены зависимости нормированного рассеяния $\bar{V} = 12V / m^2$ КПО l_q с учетом аномальных ошибок, а на рис. 3, 4 — вероятности $P_a = P[l_q \in \Gamma_N] = 1 - P_0$ аномальной ошибки, рассчитанные по формулам (13), (20) при $g(x) = I(x)$, $\lambda_0 = (\Lambda_2 + \Lambda_1) / 2$, $m = 20$ и $\delta = 0,1$ (рис. 1, 3), либо $\delta = -0,1$ (рис. 2, 4). Штриховыми линиями на рис. 1, 2 показаны соответствующие зависимости нормированного рассеяния $\bar{V}_0 = 12V_0 / m^2$ (11) надежной КПО. Кривые 1 на рис. 1—4 соответствуют $\mu = 50$, 2 — $\mu = 100$, 3 — $\mu = 200$. Из рис. 1—4 следует, что с уменьшением q , когда ОСШ $z \leq 5 \dots 7$, вероятность P_a аномальных ошибок значительно возрастает и приближается к 1. Это приводит (по сравнению со случаем надежной оценки) к скачкообразному увеличению рассеяния КПО. С ростом q , когда $z > 5 \dots 7$, рассеяние \bar{V} сходится к рассеянию \bar{V}_0 , и оценка становится надежной с вероятностью, близкой к 1. Из (13), (20) и рис. 1, 2 следует, что минимальное (пороговое) значение параметра q , при котором влиянием аномальных ошибок на точность КПО еще можно пренебречь, уменьшается с увеличением μ и возрастает с увеличением m .

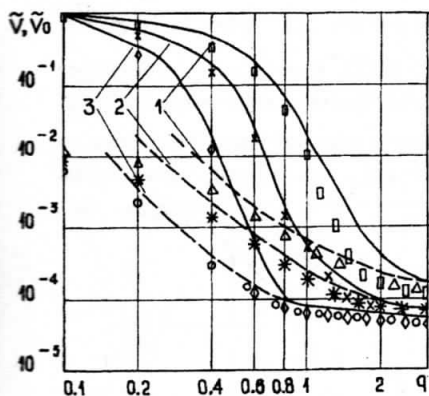


Рис. 1

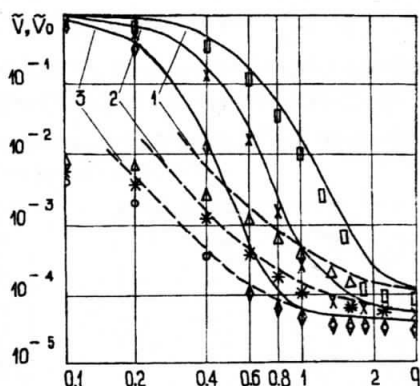


Рис. 2

С целью экспериментальной проверки работоспособности квазиравноправдоподобного алгоритма оценки (5) и установления границ применимости асимптотически точных формул (11), (13), (20) для характеристик КПО выполнялось статистическое моделирование алгоритма (5) на ЭВМ. При моделировании форма спектральной плотности процесса $\xi(t)$ предполагалась прямоугольной, так что $g(x) = I(x)$. Для сокращения затрат машинного времени использовалось

представление отклика $y(t)$ узкополосного фильтра с импульсной переходной функцией $h(t)$ (4) через его низкочастотные квадратуры. С учетом условия узкополосности (2) это позволило сформировать решающую статистику $M^*(\lambda)$ (4) в виде суммы двух независимых случайных процессов

$$M^*(\lambda) = C [L_1(\lambda) + L_2(\lambda)], \quad L_i(\lambda) = \int_{\lambda - \tau^*/2}^{\lambda + \tau^*/2} y_i^2(t) dt, \quad i = 1, 2,$$

$$y_i(t) = \int_{-\infty}^{\infty} x_i(t') h_0(t-t') dt', \quad x_i(t) = I[(t-\lambda_0)/\tau_0] \xi_i(t) + n_i(t).$$

Здесь C — несущественная постоянная, $\xi_i(t)$ и $n_i(t)$ — статистически независимые центрированные гауссовские случайные процессы со спектральными плотностями $G_0(\omega) = \gamma I(\omega/\Omega)$ и N_0 соответственно, а спектр $H_0(\omega)$ функции $h_0(t)$ удовлетворяет условию: $|H_0(\omega)|^2 = I(\omega/\Omega)$. В процессе моделирования с шагом $\Delta t = 0,05 / \mu$ формировались отсчеты случайных процессов $y_i(t)$, а затем для всех $\lambda \in [\Lambda_1; \Lambda_2]$ с шагом $\Delta \lambda = 0,01 \tau_0$ — отсчеты случайного процесса $M^*(\lambda)$, и согласно (5) вычислялась оценка времени прихода случайного радиопульса. При этом среднеквадратическая погрешность ступенчатой аппроксимации непрерывных реализаций $M^*(\lambda)$ на основе сформированных дискретных отсчетов не превышала 10%.

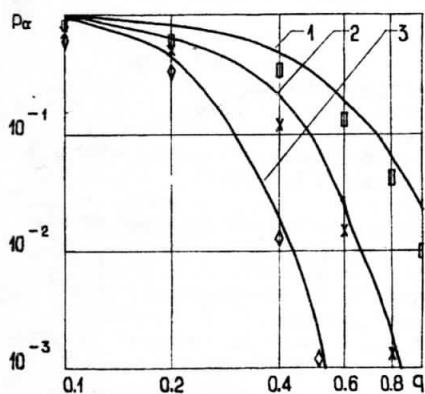


Рис. 3

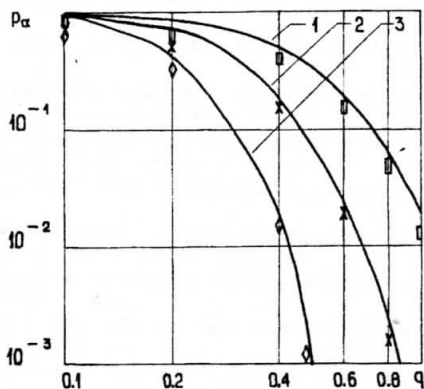


Рис. 4

Некоторые результаты статистического моделирования при $\lambda_0 = (\lambda_2 + \lambda_1) / 2$, $m = 20$ и $\delta = 0,1$ показаны на рис. 1, 3, а при $\delta = -0,1$ — на рис. 2, 4. На рис. 1, 2 нанесены экспериментальные значения нормированного рассеяния \mathcal{V} КПО I_a с учетом аномальных ошибок при $\mu = 50$ (квадратики), $\mu = 100$ (крестики) и $\mu = 200$ (ромбики), а также значения \mathcal{V}_0 нормированного рассеяния надежной оценки при $\mu = 50$ (треугольники), $\mu = 100$ (звездочки) и $\mu = 200$ (кружочки). На рис. 3, 4 квадратиками (при $\mu = 50$), крестиками (при $\mu = 100$) и ромбиками (при $\mu = 200$) показаны экспериментальные значения вероятности $P_a = 1 - P_0$ аномальной ошибки. Каждое экспериментальное значение получено в результате обработки не менее 10^4 реализаций $M^*(\lambda)$. Поэтому с вероятностью 0,9 границы доверительных интервалов отклоняются от экспериментальных значений не более, чем на 10...15%. Из рис. 1—4 следует, что теоретические зависимости для характеристик КПО с учетом аномальных ошибок удовлетворительно аппроксимируют экспериментальные данные по крайней мере при $\mu \geq 50$, $z \geq 0,5$. При $z < 1,5...2$ теоретические зависимости для рассеяния \mathcal{V}_0 надежной КПО заметно отклоняются от экспериментальных, поскольку найдены без учета конечной длительности интервала Γ_S надежной оценки [5—7].

Приведенные результаты получены при поддержке Российского фонда фундаментальных исследований.

БИБЛИОГРАФИЧЕСКИЙ СПИСОК

1. Ван Трис Г. Теория обнаружения, оценок и модуляции. — М.: Сов. радио, 1977. — 664 с.
2. Ахманов С. А., Дьяков Ю. Е., Чиркин А. С. Введение в статистическую радиофизику и оптику. — М.: Наука, 1981. — 640 с.
3. Вопросы статистической теории радиолокации. П. А. Бакут, И. А. Большаков, Б. М. Герасимов и др.; Под ред. Г. П. Тартаковского. — М.: Сов. радио, 1963. — 426 с.
4. Трифонов А. П., Захаров А. В. Прием сигнала с неизвестной задержкой при наличии модулирующей помехи // Радиоэлектроника. — 1986. — Т. 29. — № 4. — С. 36—41.
5. Куликов Е. И., Трифонов А. П. Оценка параметров сигналов на фоне помех. — М.: Сов. радио, 1978. — 296 с.
6. Трифонов А. П., Галун С. А. Требования к точности тактовой синхронизации при использовании ШИМ // Радиоэлектроника. — 1980. — Т. 23. — № 7. — С. 37—43.
7. Трифонов А. П., Шинаков Ю. С. Совместное различение сигналов и оценка их параметров на фоне помех. — М.: Радио и связь, 1986. — 264 с.
8. Трифонов А. П. Обнаружение сигналов с неизвестными параметрами // Теория обнаружения сигналов. — М.: Радио и связь, 1984. — С. 12—89.
9. Shepp L. A. Radon-Nicodym derivatives of Gaussian measures // Ann. Math. Statist. — 1966. — V. 37. — P. 321—354.

Воронежский госуниверситет.

Поступила в редакцию 02.09.97.